

© Вільцанюк О.А., Лутковський Р.А., Хуторянський М.О., Сорохоумов В. П., Скорук Р.В.
УДК: 616-089.468.6:538.9:615.28

Вільцанюк О.А., Лутковський Р.А., Хуторянський М.О., Сорохоумов В.П., Скорук Р.В.
Вінницький національний медичний університет імені М.І.Пирогова (бул. Пирогова, 56, м.Вінниця, 21018, Україна)
**РЕАКЦІЯ ТКАНИН НА ІМПЛАНТАЦІЮ ШОВНОГО МАТЕРІАЛА,
МОДИФІКОВАНОГО ВУГЛЕЦЕВИМИ НАНОТРУБКАМИ ТА
АНТИСЕПТИКОМ ПОЛІГЕКСАМЕТИЛЕНГУАНІДИН ХЛОРИДОМ**

Резюме. В роботі наведена порівняльна оцінка реакції тканин на новий вид шовного матеріалу з поліпропілену, модифікованого вуглецевими нанотрубками та антисептиком полігексаметиленгуанідин хлоридом. Проведені дослідження показали, що реакція тканин на імплантaciю розробленого шовного матеріалу не відрізняється від імплантaciї немодифікованої поліпропіленової нитки. До 7 доби експерименту запальна реакція в тканинах зникає в ділянці імплантaciї шовного матеріалу і починає формуватись сполучнотканинна капсула навколо лігатур. Формування сполучнотканинної капсули навколо лігатур, так як і при імплантaciї немодифікованої поліпропіленової нитки, упевнено завершується на 14 добу, а в інших тканинах до 30 доби експерименту і свідчить про безпечність розробленого шовного матеріалу.

Ключові слова: поліпропілен, шовний матеріал, вуглецеві нанотрубки, полігексаметиленгуанідин хлорид, реакція тканин.

Вступ

Оперативні втручання на органах та тканинах організму супроводжуються роз'єднанням та з'єднанням тканин. Не дивлячись на впровадження в хірургічну практику сучасних методів з'єднання тканин за допомогою

апаратного шва, лазера та електrozварювання, використання ручного шва залишається основним. При цьому, за даними багатьох дослідників, однією з причин виникнення післяопераційних ускладнень може бути

шовний матеріал [Семенов и др., 2006]. Тому розробка і впровадження в клінічну практику нових видів шовного матеріалу залишається актуальною проблемою.

Нами розроблено шовний матеріал з поліпропілену модифікованого вуглецевими нанотрубками та антисептиком полігексаметиленгуанідин хлоридом (патент України № 70415).

Мета дослідження: провести порівняльну оцінку реакції тканин на імплантацію розробленого шовного матеріалу на основі поліпропілену, модифікованого вуглецевими нанотрубками та антисептиком полігексаметиленгуанідин хлоридом.

Матеріали та методи

Під час проведення експериментів на щурах дотримувались основних бюетичних норм Гельсінської декларації про права людини та біомедицину (1977), вимог Гельсінської декларації прав людини (1975) та Ванкуверської конвенції (1979, 1994) про біомедичні експерименти, відповідних положень ВООЗ, Міжнародної ради медичних наукових товариств, Міжнародного кодексу медичної етики (1983) та законів України.

Експериментальна частина роботи виконана на 120 лабораторних щурах масою тіла 200–250 г. Тварини були розподілені на 2 серії дослідів по 60 тварин у кожній серії. В першій серії дослідів вивчали реакцію тканин на імплантацію шовного матеріалу з поліпропілену, а в другій серії дослідів на шовний матеріал з поліпропілену, модифікованого вуглецевими нанотрубками та антисептиком полігексаметиленгуанідин хлоридом [Пантент, 2012].

У день проведення дослідів тварин не годували. Після проведення премедикації димедролом із розрахунку 1,5 мг на кг/маси тіла та аміназину (0,02 мг/кг), проводили анестезію кетаміном шляхом внутрішньом'язового введення кетаміну з розрахунку 10 мг/кг маси тіла щура. Після обробки операційного поля 5% йодом та спиртом тричі, здійснювали середину лапаротомію. Прошивали печінку, м'язи поперекової ділянки, вузловими швами пошарово зашивали післяопераційну рану однім із видів шовного матеріалу. Тварин виводили з досліду шляхом декапітації після попереднього зневоднення тіопенталом натрію з розрахунку 50 мг/кг маси тіла через 3, 5, 7, 14, 21 та 30 діб після імплантації шовного матеріалу і забирали матеріал для гістологічного дослідження.

Забрані для дослідження тканини печінки, м'язів та передньої черевної стінки в ділянці післяопераційної рані фіксували в 10% розчині нейтрального формаліну, зневоднювали, заливали в парафін і целоїдин та готовували зрізи на мікротомі товщиною 3–5 мкм. Виготовлені гістологічні препарати забарвлювали гематоксиліном, еозином, за Ван Гізоном [Саркісов, Перов, 1996]. Забарвлени зрізи та мазки вивчали під світловим мікроскопом OLYMPUS BX-41 (свідоцтво про держреєстрацію № 8118/2008 р.). Для виводу на екран мон-

ітору кольорового зображення гістологічних препаратів використовували плату відеозахвату LEADTEK WinFast VC 100. Виявлені змін у досліджуваних органах документували шляхом проведення мікрофотозйомки і обробляли за дорогою програми Quick PHOTO MICRO 2.3.

Результати. Обговорення

У першій серії дослідів на 3 добу експерименту в печінці в безпосередній близькості навколо шовного матеріалу відмічалося скупчення макрофагальних елементів з домішками лімфоцитів та фібробластів і утворювався клітинний гранулематозний вал. Макрофагальні елементи були представлені епітелійдними клітинами і одиничними баґатоядерними гіантськими клітинами. Навколо в безпосередній близькості від клітинного вала відмічалася вогнищева лімфо-плазмоцитарна інфільтрація та ознаки набряку стромальних елементів, зернистої та гідропічної дистрофії гепатоцитів. Пікрофуксинові волокна строми порталних трактів і фіброзної капсули печінки навколо шовного матеріалу дисоційовані внаслідок запального набряку, набряклі, більше забарвлюються пікрофуксином.

У м'язах у безпосередній близькості до імплантованого шовного матеріалу відмічалася еозинофільна гомогенізація з явищами некрозу окремих скелетних м'язів. На віддалені м'язові волокна хвилеподібно звиті, з розволокненою саркоплазмою, дисоційовані і витончені внаслідок вираженого набряку навколошніх тканин та нерівномірної інфільтрації запальними клітинами елементами.

В ділянці післяопераційної рані в з'єднаних тканинах спостерігався набряк та помірно виражена нерівномірна дифузна інфільтрація лімфо-гістіоцитарними елементами і нейтрофільними лейкоцитами, яка захоплювала шкіру, підшкірну клітковину та м'язи. Між зшитими тканинами визначалася грануляційна тканина та зазначена кількість фібробластів, які складались у різнонаправлені пучки. Колагенові волокна малочисельні тонкі, розташовані хаотично. В зоні безпосереднього розташування шовного матеріалу спостерігали у вигляді прозарку зону фібринoidного некрозу без зони демаркації у віддаленні від прокольних каналів і місць імплантації шовного матеріалу. Змін архітектоніки сполучної тканини і судинної реакції по відношенню до навколошніх тканин не виявлено.

На 5 добу в печінці відмічалося незначне збільшення в клітинному валі навколо імплантованого шовного матеріалу кількості баґатоядерних гіантських клітин і зменшення числа лімфоїдних елементів. Також в цій зоні і, особливо по її периферії, збільшувалася кількість фібробластів і функціонуючих капілярів мікроциркуляторного русла. В той же час навколо імплантованого шовного матеріалу та в тканинах навколо прокольних каналів зменшувалася щільність вогнищової запальної інфільтрації при збереженні її клітинного складу. Зберігалися дистрофічні зміни гепатоцитів, явища набряк-



Рис. 1. Гранулематозна реакція з формуванням сполучнотканинної капсули навколо шовного матеріалу в тканинах печінки на 7 добу спостереження. Ван-Гізон. x100.

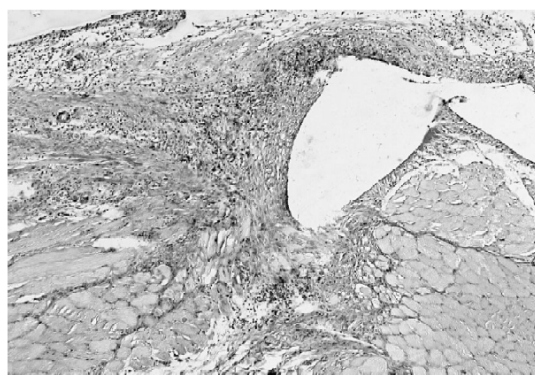


Рис. 2. Фібробласти і колагенові волокна навколо поліпропіленової лігатури в скелетному м'язі на 7 добу спостереження. Ван-Гіzon. x100.

ку тканин і порушення мікроциркуляції.

В м'язах гістологічна картина в цілому зберігалася. Незначно зменшувались явища набряку і щільність інфільтрації клітинними елементами. Кількість нейтрофільних лейкоцитів зменшувалась, але збільшувалась кількість макрофагальних елементів і плазматичних клітин. Макрофагальні елементи і епітеліоїдні клітини були розташовані переважно навколо імплантованих ниток у тканинах навколо прокольних каналів. Серед них виявлялися поодинокі клітини сторонніх тіл (багатоядерні гіантські клітини), відмічалися невеликі ділянки активного розмноження фібробластів.

У ділянці післяопераційної рани відмічалося переважне розташування мононуклеарних макрофагальних елементів у зоні навколо поліпропіленових ниток. Багатоядерних гіантських клітин сторонніх тіл не виявлено. Одночасно останні визначаються в ділянках зшивки тканин навколо занурених фрагментів волосся. У складі інфільтрату відносно збільшилась кількість лімфоцитів і плазматичних клітин. Як і в попередній термін спостереження, суттєвих змін з боку сполучної тканини і судин гемомікроциркуляторного русла не спостерігалось.

На 7 добу в печінці навколо ниток відмічалося витончення гранулематозного валу. Серед макрофагальних клітин лімфоцити зустрічаються у вигляді поодиноких клітин. Навколо гранулем зросла кількість фібробластів та колагену в цілому. Колагенові волокна складалися в пучки і мутоподібно оточували місце імплантатії ниток. У стромі печінки зменшились явища набряку, перифокальних вогнищевих скупчень лімфоплазмацитарних елементів не відмічалося. Вони малочисельні і розсіяні серед фібробластів і стромальних колагенових волокон. Дистрофічні зміни гепатоцитів і порушення мікроциркуляції зменшилися (рис. 1).

У м'язах у ділянках прокольних каналів некротизовані тканини не виявлялися. окремі м'язові волокна, які розташовані в безпосередній близькості до прокольних каналів витончені, поперечна посмугованість у них

виражена нечітко. Значно зменшились явища набряку, інфільтрація нейтрофільними лейкоцитами і лімфогістоцитарними елементами носить дифузно-розсіяний характер, щільність її значно зменшилась. В той же час, навколо шовного матеріалу сформований відносно тонкий епітеліально-клітинний вал. Поодинокі багатоядерні гіантські клітини розташовані безпосередньо на поліпропіленових лігатурах. Збільшилась кількість фібробластів, які розташовані в тканинах навколо ниток (рис. 2). Також збільшилась кількість впорядкованих колагенових волокон, розташованих у вигляді тонких пучків.

У ділянці післяопераційної рани відмічалося зменшення запальної реакції тканин. Лімфоплазмоцитарні елементи спостерігалися у вигляді клітин. Також виявлялись незначна кількість нейтрофільних лейкоцитів. Поряд із цим збільшилась кількість гістоцитарних елементів, які сформували епітеліоїдно-клітинний вал навколо імплантованого шовного матеріалу. З боку навколошіньої сполучної тканини відмічалося ущільнення і потовщення колагенових волокон (рис. 3). На цей термін спостереження виявлялися процеси синтезу колагену, проліферація фібробластів, що свідчило про активізацію процесів репаративної регенерації й формування капсули навколо імплантованої лігатури.

На 14 добу в печінці навколо лігатур широка клітинного валу зменшилась, він чітко обмежився. Безпосередньо навколо нитки були розташовані крупні одна-та 2-ядерні клітини, гістоцити з інтенсивно еозинофільною цитоплазмою, ззовні - епітеліоїдні клітини. Лімфогістоцитарні елементи в складі гранулем були практично відсутні. Різко зменшилась кількість фібробластів. Одночасно зросла кількість фіbroцитів і, особливо, зрілих колагенових волокон. Колагенові волокна складалися в пучки, які були розташовані концентрично навколо лігатур і утворювали тонку сполучнотканинну капсулу. По периферії капсули були нерівномірно розташовані незначні скупчення фібробластів і малочи-

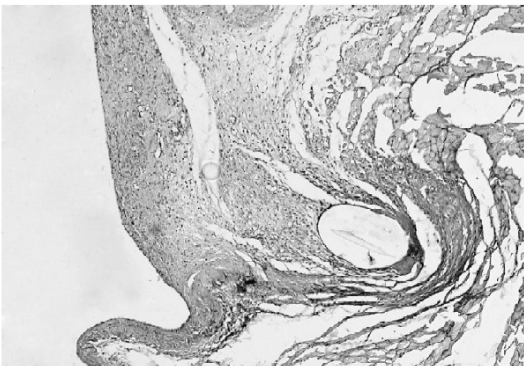


Рис. 3. Епітеліоїдноклітинна реакція навколо поліпропіленової лігатури в ділянці післяопераційної рани на 7 добу спостереження. Ван-Гізон. x100.

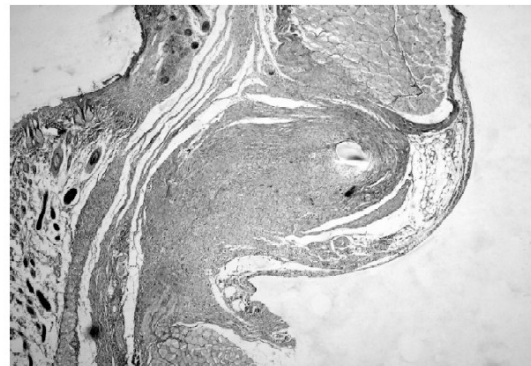


Рис. 4. Сполучнотканинна капсула навколо поліпропіленових лігатур в зшитих тканинах післяопераційної рани на 14 добу експерименту. Ван-Гіzon. x40.

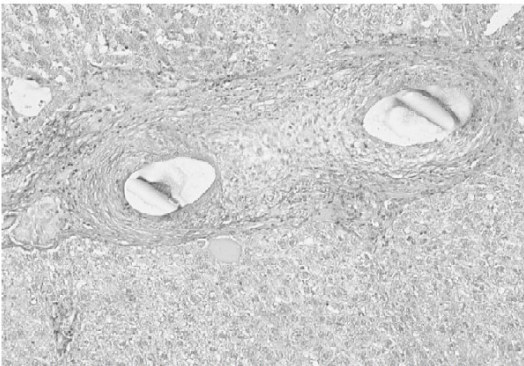


Рис. 5. Тонка сполучнотканинна капсула навколо імплантованої поліпропіленової лігатури в тканинах печінки на 21 добу спостереження. Ван-Гіzon. x200.

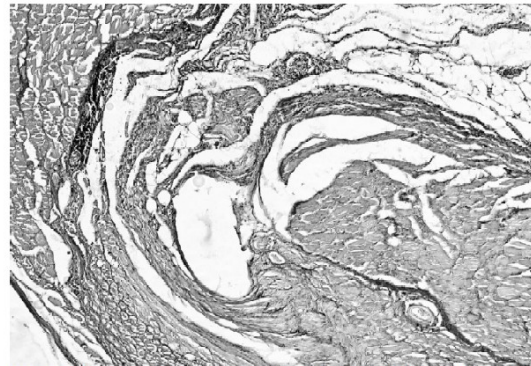


Рис. 6. Тонка сполучнотканинна капсула і відсутність гранулематозної реакції навколо поліпропіленових лігатур в ділянці післяопераційної рани на 30 добу спостереження. Ван-Гіzon. x100.

セルін лімфоцити та плазматичні клітини. В м'язах навколо поліпропіленових ниток сформувався відносно тонкий лімфоїдноклітинний вал без гіантських багатоядерних клітин. Навколо нього зберігались мінімальні явища набряку і запальна інфільтрація, в якій переважали лімфоцити. Нейтрофільні лейкоцити зустрічались у вигляді поодиноких клітин.

У ділянці післяопераційної рани навколо імплантованого шовного матеріалу, в окремих дослідах зберігалися у вигляді тонкого переривистого обідка фібринодні маси. Навколо них була сформована охоплююча капсула із концентрично направленими, щільно розташованими пучками фібробластів і колагенових волокон, між якими знаходилися острівці епітелійдних клітин з наявністю поодиноких багатоядерних клітин стороннього тіла (рис. 4).

При цьому в ділянці імплантації шовного матеріалу запальної реакції тканин майже не спостерігалося. Хоча в окремих місцях спостерігалися невеликі скупчення нейтрофільних лейкоцитів та дифузно розташовані плазмоцити і лімфоцити.

У печінці на 21-30 доби спостереження гістологічна картина була ідентичною. Вона свідчила про завершення запалення і формування навколо імплантованих тканей тонкої сполучнотканинної капсули (рис. 5). У м'язах на 21 добу спостереження зміни навколо шовного матеріалу характеризувалися зменшенням кількості макрофагальних елементів навколо лігатур, зменшенням числа фібробластів з одночасним їх ущільненням і потовщенням колагенових волокон.

На 21 добу в ділянці післяопераційної рани одночасно із збільшенням навколо лігатури кількості і товщини пучків колагенових волокон, спостерігалось зменшення числа фібробластів і запальних клітинних елементів, збереження тонкого гранулематозного гістiocитарного вала без багатоядерних клітин стороннього тіла. На 30 добу в м'язах навколо шовного матеріалу зберігався неширокий епітелійдно-клітинний вал, оточений переважно впорядкованими пучками колагенових волокон, серед яких визначаються фіброцити і малочисельні фібробласти. На 30-ту добу у ділянці післяопераційної рани навколо шовного матеріалу була

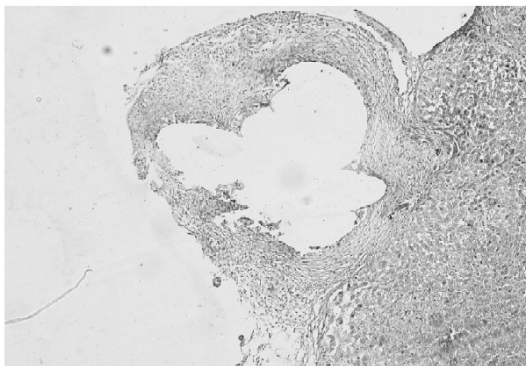


Рис. 7. Формування сполучнотканинної капсули навколо імплантованої розробленої нитки в печінці на 7 добу спостереження. Ван-Гізон. x100.

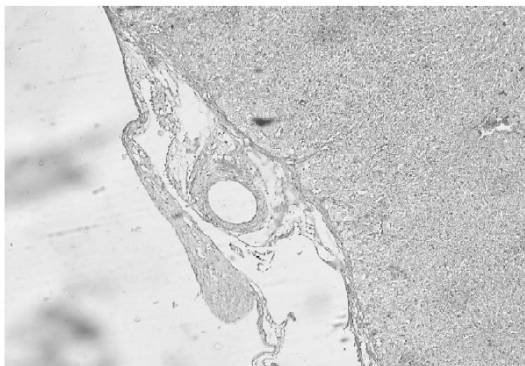


Рис. 8. Помірна запальна клітинна інфільтрація, тканинні печінки та сполучнотканинна капсула навколо розробленої нитки в печінці на 14 добу спостереження. Ван-Гізон. x100.

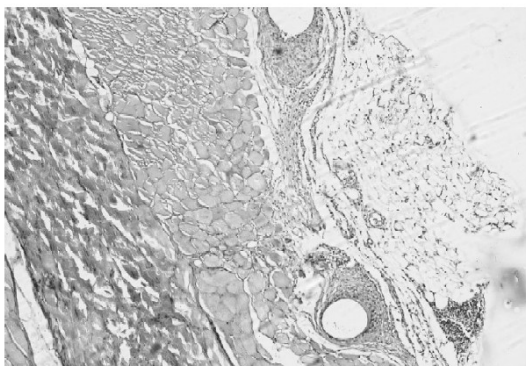


Рис. 9. Сполучнотканинна капсула навколо розробленого шовного матеріала в ділянці зшитих тканин на 14 добу спостереження. Гематоксилін-еозин. x100.

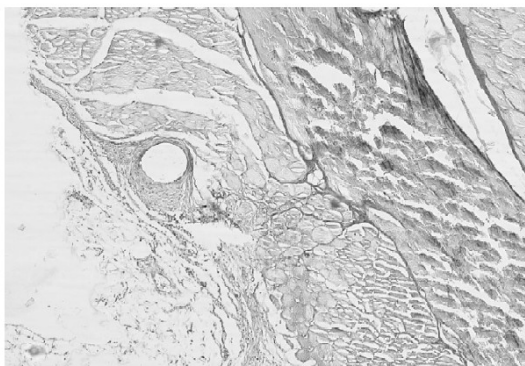


Рис. 10. Завершення процесів формування сполучнотканинної капсули навколо розробленої нитки імплантованої в скелетний м'яз на 21 добу спостереження. Ван-Гіzon. x100.

лише тонка сполучнотканинна капсула із щільно розміщених пучків зрілих колагенових волокон (рис. 6).

При гістологічному дослідженні тканин печінки в місці імплантації розробленого шовного матеріалу, так як і в серії дослідів, де проводили імплантацію немодифікованого шовного матеріалу, на 3 добу експерименту спостерігалась наявність крововиливів та запальні зміни. У безпосередній близькості навколо шовного матеріалу відмічено скупчення макрофагальних елементів з домішками лімфоцитів та фібробластів і утворення клітинного валу. Макрофагальні елементи були представлені епітеліоїдними клітинами і поодинокими багатоядерними гіантськими клітинами. Навколо і в безпосередній близькості від клітинного валу відмічалася вогнищева лімфо-плазмоцитарна інфільтрація, ознаки набряку стромальних елементів, зернистої і гідропічної дистрофії гепатоцитів.

Гістологічні зміни в місцях імплантації розробленого шовного матеріалу в м'язі, аналогічно попередній серії дослідів, на 3 добу спостереження характеризувалися запальними та дистрофічними змінами м'язових

волокон без деструктивних змін. При цьому спостерігався набряк тканин і нерівномірна інфільтрація запальними клітинними елементами. В тканинах після операційної рани на 3 добу експерименту також відмічалася наявність вогнищевих крововиливів навколо прокольних каналів у зшитих тканинах.

У з'єднаних тканинах спостерігалася помірно виражена нерівномірна дифузна інфільтрація лімфо-гістіоцитарними елементами і нейтрофільними лейкоцитами, яка захоплювала шкіру, підшкірну клітковину та м'язи. Між зшитими тканинами визначалася наявність грануляційної тканини та значна кількість фібробластів, які складалися у різнонаправлені пучки. Колагенові волокна були розташовані хаотично.

Через 5 діб від початку експерименту в печінці, так як і в попередній серії дослідів, відмічалося незначне збільшення в клітинному валі кількості багатоядерних гіантських клітин і зменшення числа лімфоїдних елементів. Навколо імплантованого шовного матеріалу зменшувалася щільність запальної інфільтрації при збереженні її клітинного складу. Зберігалися дистрофічні

ОРИГІНАЛЬНІ ДОСЛІДЖЕННЯ

зміни гепатоцитів, явища набряку тканин і порушення мікроциркуляції.

В м'язовій тканині в місці імплантації шовного матеріалу незначно зменшувались явища набряку і щільність інфільтрації клітинними елементами. Серед останніх зменшилась доля нейтрофільних лейкоцитів, але збільшилась кількість макрофагальних елементів і плазматичних клітин. Макрофагальні елементи і епітелійодні клітини були розташовані переважно в тканинах навколо прокольних каналів. Серед них виявлялися одиничні багатоядерні гігантські клітини. Спостерігались невеликі ділянки активного розмноження фібробластів. У зшитих тканинах передньої черевної стінки визначалися мононуклеарні макрофагальні елементи переважно навколо імплантованих лігатур. У складі інфільтрату переважають лімфоцити і плазматичні клітини. Через 7 діб від початку експерименту, аналогічно контролльній серії дослідів, запальна реакція тканин навколо імплантованих шовного матеріала, в місцях де формувалася сполучнотканинна капсула, збільшилась кількість фібробластів, явища набряку зменшились. Перифокальних вогнищевих скупчень лімфо-плазмоцитарних елементів не спостерігалося - вони були малочисельні і розсіяні серед фібробластів та стромальних колагенових волокон (рис. 7). У м'язовій тканині наявності некротизованих тканин у ділянках прокольних каналів не спостерігалося. окремі м'язові волокна, які були розташовані в безпосередній близькості до прокольних каналів, були витончені, поперечна посмугованість у них була виражена нечітко.

Явища набряку та інфільтрації нейтрофільними лейкоцитами і лімфогістоцитарними клітинами зменшилась. У той же час, навколо шовного матеріала був сформований відносно тонкий епітелійодно-клітинний вал. Багатоядерні гігантські клітини були розташовані безпосередньо на лігатурах. Збільшилась кількість фібробластів у тканинах навколо імплантованих ниток та кількість колагенових волокон, які виявлялися у вигляді тонких пучків. Запальні явища на цей термін спостереження в ділянці зшитих тканин також зменшились, спостерігалася незначна інфільтрація лімфо-плазмоцитарними елементами та нейтрофільними лейкоцитами. Поряд із цим зросла кількість гістоцитарних елементів, які сформували епітелійодно-клітинний вал навколо імплантованих лігатур. У сполучнотканинних утвореннях відмічалося ущільнення і потовщення колагенових волокон.

Через 14 діб після імплантациї розробленого шовного матеріала в тканини печінки процеси формування капсули навколо імплантованого шовного матеріалу завершувалися. Ширина клітинного валу зменшувалась, він чітко обмежувався. Безпосередньо навколо нитки були розташовані крупні одно- та 2-ядерні клітини, гістоцити з інтенсивною еозинофільною цитоплазмою, ззовні - епітелійодні клітини. Лімфоцитарні елементи в

складі гранульоми були практично відсутніми, різко зменшилась кількість фібробластів. Одночасно збільшилась кількість фіброцитів і, особливо, зрілих колагенових волокон. Колагенові волокна складалися в пучки, концентрично розташовані навколо лігатур і утворювали тонку сполучнотканину капсулу. По периферії капсули були нерівномірно розташовані незначні скупчення фібробластів і малочисельні лімфоцити і плазматичні клітини (рис. 8).

У м'язовій тканині на цей термін спостереження навколо поліпропіленових ниток сформувався відносно тонкий лімфоідноклітинний вал без гігантських багатоядерних клітин. Навколо нього зберігались мінімальні явища набряку і запальна інфільтрація. В запальному інфільтраті переважали лімфоцити, кількість плазматичних клітин зменшувалась, нейтрофільні лейкоцити зустрічалися у вигляді поодиноких клітин. В окремих скелетних м'язах спостерігалися дистрофічні зміни. У ділянці післяопераційної рани навколо імплантованого шовного матеріала була широка капсула із концентрично напраленими, щільно розташованими пучками фібробластів і колагенових волокон, між якими спостерігались епітелійодні клітини та поодинокі багатоядерні клітини стороннього тіла (рис. 9).

На 21-30 добу спостереження гістологічні зміни в печінці були ідентичні змінам у тварин контрольної серії дослідів і свідчили про завершення запалення і наявності імплантованих тканин, сформованої тонкої сполучнотканинної капсули.

В м'язовій тканині зміни навколо шовного матеріалу характеризувалися зменшенням кількості макрофагальних елементів навколо лігатур, зменшенням числа фібробластів з одночасним їх ущільненням і потовщенням колагенових волокон, у тканинах зустрічалися поодинокі нейтрофільні лейкоцити, ознаки набряку були відсутніми (рис. 10).

У тканинах післяопераційної рани на 21 добу спостереження одночасно із збільшенням кількості і товщини пучків колагенових волокон навколо нитки, відмічалося зменшення числа фібробластів і збереження тонкого гранульоматозного гістоцитарного валу без багатоядерних клітин стороннього тіла.

Через 30 діб після імплантациї шовного матеріалу запальна реакція тканин печінки на шовний матеріал не виявлена. В м'язах навколо шовного матеріалу зберігається неширокий епітелійодно-клітинний вал без багатоядерних гігантських клітин, оточений переважно впорядкованими пучками колагенових волокон, серед яких визначаються фіброцити і малочисельні фібробласти.

У ділянці післяопераційної рани процеси репаративної регенерації завершені, сформувався тонкий сполучнотканинний рубець. Навколо шовного матеріалу визначалась тонка капсула із щільно розміщених пучків зрілих колагенових волокон, серед яких зустрі-

ОРИГІНАЛЬНІ ДОСЛІДЖЕННЯ

ічалися поодинокі фібробласти і гістіоцити.

Аналіз отриманих даних при порівнянні реакції тканин печінки, м'язів та тканини в ділянці післяопераційної лапаротомної рани на немодифіковану поліпропіленову нитку та розроблений шовний матеріал з поліпропіленом, модифікований вуглецевими нанотрубками та полімерним антисептиком полігексаметиленгуанідин хлориду показав, що реакція тканин на імплантований розроблений матеріал не відрізняється від реакції тканин на імплантацію немодифікованої поліпропіленової нитки. Отримані дані свідчать, що так як і при імплантації немодифікованої нитки запальна реакція з 7 доби експерименту зникає в ділянці імплантації шовного матеріалу і починає формуватись сполучнотканинна капсула навколо лігатур, яка відділяє шовний матеріал від навколишніх тканин. Формування сполучнотканинної капсули навколо лігатур у печінці завершується до 14 доби, а в інших тканинах до 30 доби експерименту в обох серіях дослідів і свідчить про безпечнощсть розробленого шовного матеріалу з поліпропіленом модифікованим вуглецевими нанотруб-

ками та антисептиком полігексаметиленгуанідин хлоридом.

Висновки та перспективи подальших розробок

1. Морфологічні дослідження реакції тканин печінки, м'язів та тканин передньої черевної стінки живота у щурів свідчить, що реакція тканин на модифікований шовний матеріал не відрізняється від реакції тканин на класичний шовний матеріал.

2. Запальна реакція тканин в ділянці імплантації розробленого шовного матеріалу з 7 доби експерименту зникає і починає формуватись сполучнотканинна капсула навколо лігатур. Формування сполучнотканинної капсули навколо лігатур в печінці завершується до 14 доби, а в інших тканинах до 30 доби експерименту в обох серіях дослідів і свідчить про безпечнощсть розробленого шовного матеріала.

Отримані дані свідчать про необхідність подальшого вивчення розробленого шовного матеріалу в експерименті та клініці.

Список літератури

- Микроскопическая техника /под ред. Д.С. Саркисова, Ю.Л.Перова.- М.: Медицина, 1996.- 544с.
Патент накорисну модель 70415 Україна, МПК D01F 1/00 Композиція для отримання ниток з антимікробними властивостями /Цебренко М.В., Картель М.Т., Резанова Н.М., Мельник І.А., Цебренко О.О., Готфрід А.О., Вільцанюк О.А., Хуторянський М.О., Лутковський Р.А.; заявник та патентовласник Київський нац. ун-т технології та дизайну. №и 20111384, заявл. 24.11.2011; опубл. 21.06.2012, Бюл. №11.
Семенов Г.М. Хирургический шов. 2-е изд. /Г.М.Семенов, В.Л.Петришин, М.В.Ковшова.- СПб: Питер, 2006.- 256с.

Вильцанюк А.А., Лутковский Р.А., Хуторянский М.А., Сорокумов В.П., Скорук Р.В.
РЕАКЦІЯ ТКАНЕЙ НА ИМПЛАНТАЦІЮ ШОВНОГО МАТЕРІАЛА МОДИФІЦІРОВАННОГО УГЛЕРОДНИМИ НАНОТРУБКАМИ И АНТИСЕПТИКОМ ПОЛИГЕКСАМЕТИЛЕНГУАНИДИН ХЛОРИДОМ

Резюме. В работе приведена сравнительная оценка реакции тканей на новый вид шовного материала из полипропилена модифицированного углеродными нанотрубками и антисептиком полигексаметиленгуанидин хлоридом. Проведенные исследования показали, что реакция тканей на имплантацию разработанного шовного материала не отличается от имплантации немодифицированной полипропиленовой нити. До 7 суток эксперимента воспалительная реакция в тканях исчезает в области имплантации шовного материала и начинает формироваться соединительнотканная капсула вокруг лигатур. Формирование соединительнотканной капсулы вокруг лигатур, также как и при имплантации немодифицированной полипропиленовой нити, в печени заканчивается на 14 сутки, а в других тканях до 30 суток эксперимента и свидетельствует о безопасности разработанного шовного материала.

Ключевые слова: полипропилен, шовный материал, углеродные нанотрубки, полигексаметиленгуанидин хлорид, реакция тканей.

*Viltsanyuk A.A., Lutkovsky R.A., Khutoryanskiy M.A., Sorokumov V.P., Skoruk R.V.
TISSUE REACTION TO THE IMPLANTATION SUTURE MATERIAL MODIFIED BY CARBON NANOTUBES AND ANTISEPTICS POLYHEXAMETHYLENEGUANIDINE CHLORIDE*

Summary. The work contains a comparative evaluation of tissue reactions to a new type of suture material made of polypropylene modified with carbon nanotubes, and antiseptic polyhexamethyleneguanidine chloride. Studies have shown that the response of tissues to the implantation of invented suture material is not different from the implantation of the unmodified polypropylene filaments. Up to 7 days of the experiment an inflammatory reaction in the tissue disappears in implanting suture material and begins to form connective tissue capsule around the ligatures. The formation of a connective tissue capsule around the ligatures, since the implantation of unmodified polypropylene suture ends in the liver at 14 days, and in other tissues up to 30 days of the experiment and indicates the security of the invented suture material.

Key words: polypropylene, suture material, carbon nanotubes, polyhexamethyleneguanidine chloride, reaction of the tissues.

Стаття надійшла до редакції 18.05.2012р.